

# Characterization of aflatoxigenic *Aspergillus flavus* and *A. parasiticus* strain isolates from animal feedstuffs in northeastern Iran

Davari, E.<sup>1</sup>; Mohsenzadeh, M.<sup>2\*</sup>; Mohammadi, Gh.<sup>3</sup>  
and Rezaeian-Doloei, R.<sup>4</sup>

<sup>1</sup>Graduated from Faculty of Veterinary Medicine, Ferdowsi University of Mashhad, Mashhad, Iran; <sup>2</sup>Department of Food Hygiene and Aquaculture, Faculty of Veterinary Medicine, Ferdowsi University of Mashhad, Mashhad, Iran; <sup>3</sup>Department of Clinical Sciences, Faculty of Veterinary Medicine, Ferdowsi University of Mashhad, Mashhad, Iran; <sup>4</sup>Department of Agronomy and Plant Breeding, Mashhad Branch, Islamic Azad University, Mashhad, Iran

\*Correspondence: M. Mohsenzadeh, Department of Food Hygiene and Aquaculture, Faculty of Veterinary Medicine, Ferdowsi University of Mashhad, Mashhad, Iran. E-mail: mohsenza@um.ac.ir

(Received 1 Mar 2014; revised version 7 Sept 2014; accepted 26 Nov 2014)

## Summary

Aflatoxins are secondary toxic metabolites produced by some *Aspergillus* spp. particularly, *Aspergillus flavus* and *A. parasiticus* that contaminate food and feed. The objective of this study was to evaluate the contamination of feedstuffs with *Aspergillus* spp. and detect genes involved in the aflatoxin biosynthesis pathway of *A. flavus* and *A. parasiticus* isolates. A total of 110 cow feed samples (comprised of silage, concentrate, hay and total mixed ration) from 30 industrial and semi-industrial dairy farms of Khorasan Razavi province, northeastern Iran, were examined using cultural and PCR methods. 68 (61.82%) *Aspergillus* spp. were isolated from 110 samples of feedstuff. The predominant *Aspergillus* isolates were *A. fumigatus* (21.81%), followed by *A. flavus* (17.27%), *A. niger* (10%), *A. parasiticus* (8.18%), and *A. oryzae* (4.54%). Fungal contamination levels of industrial and semi-industrial dairy farm samples were not significantly different ( $P>0.05$ ). Using four sets of primers, a quadruplex PCR was developed to detect genes (*nor1*, *ver1*, *omtA* and *aflR*) at different loci coding enzymes in the aflatoxin biosynthesis pathway of *A. flavus* and *A. parasiticus* strains. Out of 28 strains of *A. flavus* and *A. parasiticus*, 10 isolates (35.71%) showed a quadruplet pattern indicating the important genes involved in the aflatoxin biosynthesis pathway, encoded for functional products. These isolates were confirmed to be aflatoxigenic by Thin Layer Chromatography. 18 isolates (64.29%) had three, two and single molecular patterns. The results obtained by this study show that rapid and specific detection of aflatoxigenic molds is important to ensure the microbiological safety of feedstuffs.

**Key words:** Aflatoxin, *Aspergillus* spp., Feedstuff, Multiplex PCR

## Introduction

Mold and mycotoxin contamination of animal feedstuffs is largely a feed management problem. Most species of *Aspergillus* are able to grow on wide ranges of feed. They are essentially saprophytic and particularly associated with stored moldy plant products (Shapira *et al.*, 1996). *Aspergillus* genera is the most important aflatoxigenic fungi (Rodrigues *et al.*, 2009). Aflatoxins, are highly toxic secondary metabolites produced predominately by *A. flavus*, *A. parasiticus* and *A. nomius*. Food and feed commodities are usually contaminated by a range of different fungi during growth, harvesting and storage. Local weather conditions as well as environmental conditions in storage facilities, especially temperature and relative humidity, contribute to the growth of *A. flavus* and *A. parasiticus* and are, therefore, potential risks for aflatoxin production (Michael *et al.*, 1999; Rahimi *et al.*, 2008). *Aspergillus parasiticus* are able to produce aflatoxins B1, B2, G1 and G2, whereas *A. flavus* is only able to produce aflatoxin B1 and B2 (Yu, 2012). Only about 40-50% of *A. flavus* strains are able to produce these mycotoxins. Aflatoxin B1 is widely regarded as the most potent liver carcinogen, affecting a

large number of animal species and humans (Michael *et al.*, 1999). Aflatoxin M1 and M2 are hydroxylate derivatives of AFB1 and AFB2, which are formed and excreted in the milk of lactating animals and humans that have consumed aflatoxin-contaminated foods (Michael *et al.*, 1999). Aflatoxins are highly toxic and carcinogenic in animals and humans, leading to hepatotoxicity, immunotoxicity (Mehrzed *et al.*, 2011), teratogenicity and even death (Erami *et al.*, 2007; Ghiasian and Maghsoud, 2011).

Traditional culture techniques for monitoring foods and animal feed for fungal contaminations are extremely labor-intensive and require several days to complete. During the past years, a number of molecular based detection methods have been developed to characterize aflatoxigenic and non-aflatoxigenic *Aspergillus* spp. isolates in human foods and animal feeds (van der Vossen, 1996; Konietzny and Greiner, 2003). Aflatoxin biosynthesis is a complex process involving many intermediates and enzymes. The regulation of aflatoxin gene expression occurs at multiple levels and by multiple regulatory components. Twenty seven enzymatic steps are estimated for an aflatoxin biosynthesis (Ehrlich and Yu, 2010), and as many as 30 genes are potentially

involved in the process. The genes and corresponding enzymes have been extensively studied (Yu *et al.*, 2004a, b). In *A. flavus* and *A. parasiticus*, aflatoxin pathway genes are clustered within a 75-kb region of the fungal genome on chromosome III, roughly 80 kb away from the telomere (Yu *et al.*, 2004a, b; Chang *et al.*, 2005). *Nor-1*, *ver-1* and *omt-A* are three structural genes in the cluster genes of the biosynthesis aflatoxin pathway that are coded for key enzymes in the production of aflatoxin, thus they are essential for the production of aflatoxin (Erami *et al.*, 2007). Norsolorinic acid (NOR) was confirmed to be the first stable aflatoxin precursor (Yu *et al.*, 2004b). The *ver-1* gene was predicted to encode a ketoreductase, similar to *nor-1* (Keller *et al.*, 1994). Aflatoxin pathway genes were found to be clustered in the genome of *A. flavus* and *A. parasiticus* (Yu *et al.*, 2004a, b). These genes are expressed concurrently except for the regulatory gene *aflR*. In this gene cluster, a positive-acting regulatory gene, *aflR*, is located in the middle of the gene cluster. The *aflR* gene, encoding a 47 kDa sequence-specific zinc-finger DNA-binding protein, is required for transcriptional activation of most, if not all, structural genes of the aflatoxin gene cluster (Ehrlich *et al.*, 1998; Chang *et al.*, 1999a, b). Several studies were carried out regarding the use of genes involved in aflatoxin biosynthesis (Shapira *et al.*, 1996; Criseo *et al.*, 2001) for the identification of aflatoxin-producing *A. flavus* and *A. parasiticus*.

The aims of this study were to determine *Aspergillus* spp. contamination of animal feed samples and to specifically detect genes involved in aflatoxin biosynthesis in *A. flavus* and *A. parasiticus* isolated from feedstuffs of Khorasan dairy industries, Iran. To this end, a multiplex-PCR method was used to detect important genes involved in aflatoxin synthesis using four set of primers, namely *aflR*, *omtA*, *ver1*, *nor1*.

## Materials and Methods

### Feed samples

A total of 110 animal feed samples comprising silage (n=28), concentrate feed (n=30), total mixed ration (n=27) and hay (n=25) were randomly collected from 30 industrial and semi-industrial dairy farms of Khorasan Razavi province (Table 1). All samples were transported to the laboratory under cold (4°C) conditions. All samples were intended for animal consumption and none showed any visible sign of mold contamination.

### Identification of *Aspergillus* spp.

Samples were homogenized and stored at 4°C and

protected against light until the day of analysis. A 10 g portion of each sample was homogenized in 90 ml of 0.1% peptone water solution for 30 min in an orbital shaker. Serial dilutions of up to 10<sup>-6</sup> were made and 0.1 ml of each dilution was inoculated in duplicate onto potato dextrose agar (PDA, Merck). The plates were incubated at 25°C for 5-7 days. To identify *Aspergillus* species, the spores were transferred on the Czapek-Dox agar medium (CZA, Merck) after fungal colony formation and incubated for 5-7 days at 27°C. Wet mount smears and slide cultured colonies were stained with lactophenol cotton blue. Taxonomic fungi identification was made based on macroscopic and microscopic features according to appropriate keys proposed by Klich (2002).

### Determination of aflatoxin production by chromatography

The isolates identified as *A. flavus* and *A. parasiticus* were tested for the production of aflatoxins based on the thin layer chromatography (TLC) method (Moubasher *et al.*, 2013). The spore suspension (100 µL) of each strain containing 10<sup>7</sup> spores/ml prepared in 0.1% (vol/vol) Tween 20 was added to a 250 ml Erlenmeyer flask containing 100 ml yeast extract sucrose broth (YES, Merck), incubated for 7 days at 26°C and shook at 150 rpm. To extract aflatoxin from the mycelium, the cells were lysed by adding 100 ml chloroform to each flask and transferring the lower transparent phase to a new tube. Chloroform was evaporated at 100°C in a water bath and the remaining pellets were dissolved in 1 ml methanol. Silica gel TLC plates (Sigma) were used for the aflatoxin analysis. From each sample, 50 µL was spotted onto the TLC sheets, developed in a toluene-ethyl acetate-acetic acid (50:30:4) solvent system. Pure aflatoxins (Sigma) were used as standards. Aflatoxins were visualized under a UV lamp at 365 nm and their presence was chemically confirmed by spraying 50% H<sub>2</sub>SO<sub>4</sub>, and heating to charring. An aflatoxigenic strain was used as positive control.

### DNA extraction

The isolation of fungal DNA was performed according to the method described by Yelton *et al.* (1984) with some modifications. The strains were grown for 72 h under continuous shaking conditions (150 rpm) in the PDA Broth. The mycelium was then harvested by filtration, transferred to a mortar, frozen in liquid nitrogen and ground to a powder which was resuspended in a lysis buffer (50 mmol/L EDTA, 0.2% SDS, pH =

**Table 1:** The frequency of *Aspergillus* spp. isolated from feedstuffs of Khorasan dairy farms

Feedstuff sample	No of samples	<i>Aspergillus</i> spp.					Total (%)
		<i>A. flavus</i>	<i>A. parasiticus</i>	<i>A. fumigatus</i>	<i>A. niger</i>	<i>A. oryzae</i>	
Silage	28	1	2	3	2	0	8 (28.57%)
Concentrate	30	8	3	8	3	1	23 (76.66%)
TMR	27	5	2	5	0	2	14 (51.85%)
Hay	25	5	2	8	6	2	23 (92%)
Total (%)	110	19 (17.27%)	9 (8.18%)	24 (21.81%)	11 (10%)	5 (4.54%)	68 (61.82%)

**Table 2:** Primers used in this study, target gene, sequence and PCR product size

Primer name	Target gene	Primer sequence (5'-3')	PCR product size (bp)	Reference
NorF	<i>nor-1</i>	ACCGCTACGCCGGCACTCTCGGCAC	400 bp	Criseo <i>et al.</i> , 2001
NorR		GTTGGCCGCCAGCTTCGACACTCCG		
VerF	<i>ver-1</i>	GCCGCAGGCCGGAGAAAGTGGT	537 bp	Criseo <i>et al.</i> , 2001
VerR		GGGGATATACTCCCGCAGACAGCC		
OmtF	<i>omt-A</i>	GTGGACGGACCTAGTCCGACATCAC	797 bp	Criseo <i>et al.</i> , 2001
OmtR		GTCGGCGCCACGCACGGGGGGGG		
AflrF	<i>aflR</i>	TATCTCCCCCGGGCATCTCCCGG	1032 bp	Criseo <i>et al.</i> , 2001
AflrR		CCGTCAGACAGCCACTGGACACGG		

8.5) and heated immediately at 68°C for 15 min. After centrifugation for 15 min at 15000 × g, a 7-10 ml volume of the supernatant fluid was transferred to a new centrifuge tube and 1 ml 4 mol/L sodium acetate was added. This solution was placed on ice for 1 h and centrifuged for 15 min at 15000 × g. After centrifugation, the supernatant fluid was transferred to a fresh tube and extracted by AccuPrep® Genomic DNA extraction Kit (Bioneer, Korea).

### Multiplex PCR reaction

In the present study, multiplex PCR was performed according to the method described by Criseo *et al.* (2001). All of the isolated *A. flavus* and *A. parasiticus* were examined for the presence of four important aflatoxin genes (*aflR*, *omt-A*, *ver-1* and *nor-1*) enclosed in the aflatoxin biosynthesis pathway by multiplex PCR using four published primer sets (Table 2).

PCR reaction was performed in 25 µL containing 2.5 µL 1 X PCR buffer, 0.75 µL 50 mM MgCl<sub>2</sub>, 0.5 µL 10 mM dNTPs, 2 µL of each primer, 0.2 µL Taq DNA polymerase (1 U/µL), 5 µL extracted DNA as template and 8.05 µL sterile distilled water. A total of 35 cycles was started with heating at 94°C for 5 min, and continued by denaturation for 30 s at 94°C, annealing for 30 s at 67°C, elongation for 30 s at 72°C and a final extension of 10 min at 72°C. Amplified products were visualized by UV illumination after electrophoresis on 1% agarose gel and ethidium bromide staining.

Genomic DNA of the following organisms was used to test the sensitivity of primers listed in Table 2: *A. parasiticus* ATCC 15517, *A. oryzae* IMI 126842, *Penicillium purpurogenome* PTCC 5212, *Fusarium oxysporum* PTCC 5115, *A. oryzae* IMI 126842, *A. fumigatus* PTCC 5009 and *Alternaria alternata* PTCC 5224, even at the highest level, thus indicating the high specificity of the PCR. To determine the PCR's sensitivity, lower concentrations of spores were tested. The DNA was only amplified in *A. parasiticus* ATCC 15517, even at the lowest spore level.

*oryzae* (4.54%) (Table 1).

The most frequent isolated fungi were found in the hay samples (92%) and the lowest fungal contamination frequency was in the silage (28.57%). The incidence rates of fungal contamination in industrial and semi-industrial dairy farm samples were (62.5%) and (64.81%), respectively, with no significant differences between farm types (P>0.05).

The molecular patterns obtained for 28 examined *A. flavus* and *A. parasiticus* isolates are shown in Fig. 1 and Table 3.

DNA fragments of *aflR*, *omt-A*, *ver-1* and *nor-1* genes were visualized at 1032, 797, 537 and 400 bp, respectively (Fig. 1). Five isolates (CAF1, CAF5, CAF7, CAP1 and CAP2) from the concentrate (Fig. 1a), 2 isolates (SAF1 and SAP2) from the silage (Fig. 1b), 2 isolates (TAF4 and TAP1) from the TMR (Fig. 1c) and 1 isolate (HAP2) from the hay (Fig. 1d) had a quadruplet pattern, indicating the presence of the four genes involved in the aflatoxin biosynthesis pathway. Other strains, however, showed different molecular patterns (Table 3). The results obtained by the TLC method indicated that all aflatoxigenic strains of *A. flavus* and *A. parasiticus* (10 strains) contained the four structural genes (Table 3).

No DNA amplification was observed with *A. niger* ATCC 9142, *Penicillium purpurogenome* PTCC 5212, *Fusarium oxysporum* PTCC 5115, *A. oryzae* IMI 126842, *A. fumigatus* PTCC 5009 and *Alternaria alternata* PTCC 5224, even at the highest level, thus indicating the high specificity of the PCR. To determine the PCR's sensitivity, lower concentrations of spores were tested. The DNA was only amplified in *A. parasiticus* ATCC 15517, even at the lowest spore level.

### Discussion

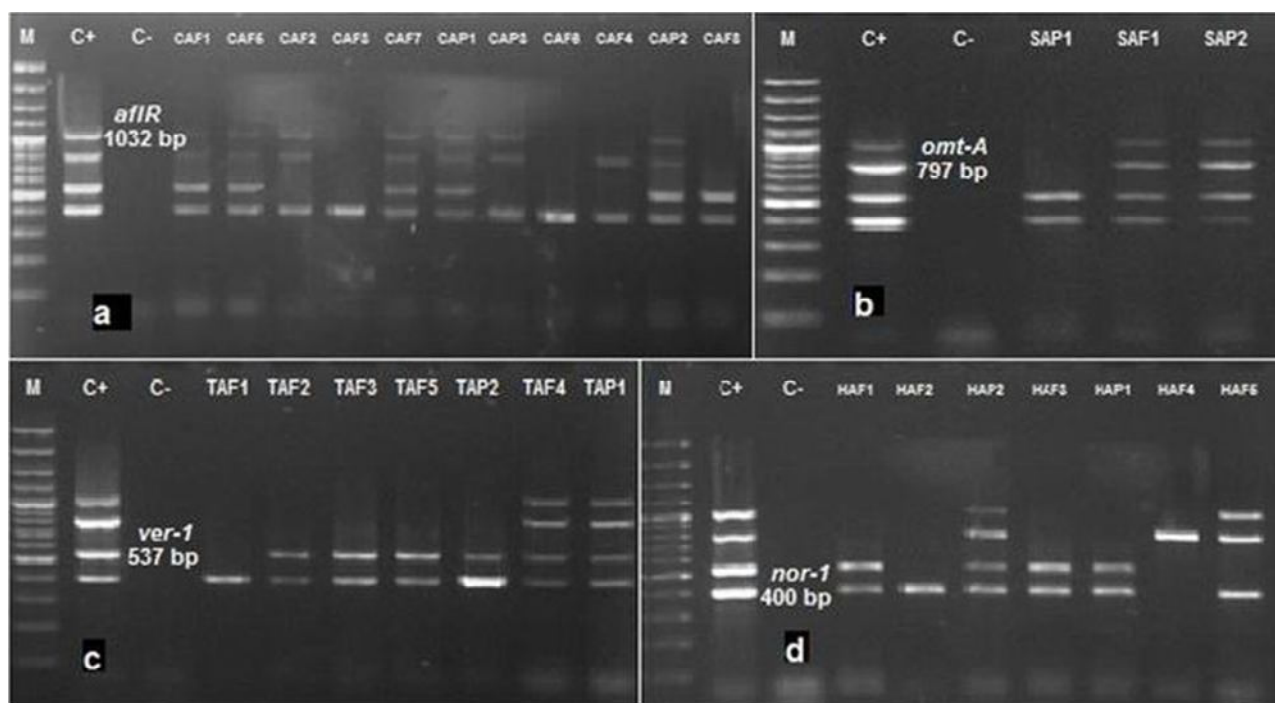
In this study, *A. fumigatus* (21.81%) and *A. flavus* (17.27%) were the predominant *Aspergillus* spp. isolated from feedstuffs. These results differ from reports describing *A. niger* as the most predominant followed by *A. flavus* (Saleemi *et al.*, 2010), and vice versa (Accensi *et al.*, 2004; Somashekar *et al.*, 2004). In a study conducted in Brazil on raw materials and finished cow feed samples by Rosa *et al.* (2008), eight fungal genera were isolated. The predominant *Aspergillus* isolated from finished cow feed samples were *A. flavus* (31.6%) followed by *A. niger* (22.4%). The predominance of *A. flavus* isolates showed that it can easily adapt itself to

### Statistical analysis

Statistical analysis was performed using SPSS version 19. Chi-square and Fisher exact tests were used to assess the possible differences between fungi incidence in feeds and types of dairy farm. The significance level was set at P<0.05 for all tests.

### Results

Among 110 feed samples, 68 (61.82%) were contaminated with *Aspergillus* species. The predominant isolate was *A. fumigatus* (21.81%), followed by *A. flavus* (17.27%), *A. niger* (10%), *A. parasiticus* (8.18%) and *A.*



**Fig. 1:** Agarose gel electrophoresis of multiplex PCR products amplified from *A. flavus* and *A. parasiticus* isolated from feedstuffs. M: 100 bp DNA molecular size marker, C+: Positive control (*A. parasiticus* ATCC 15517), and C-: Negative control (without genomic DNA). (a): DNA banding patterns of *A. flavus* and *A. parasiticus* isolates of concentrate samples, (b): DNA banding patterns of *A. flavus* and *A. parasiticus* isolates of silage samples, (c): DNA banding patterns of *A. flavus* and *A. parasiticus* isolates of TMR samples, and (d): DNA banding patterns of *A. flavus* and *A. parasiticus* isolates of hay samples

**Table 3:** Results obtained by multiplex PCR and conventional methods (TLC and PCR)

Isolate code	Aflatoxin biosynthesis gene				Aflatoxin production by TLC method
	<i>aflR</i>	<i>omt-A</i>	<i>ver-1</i>	<i>nor-1</i>	
SAF1	+	+	+	+	+
SAP1	-	-	+	+	-
SAP2	+	+	+	+	+
CAF1	+	+	+	+	+
CAF2	+	+	-	+	-
CAF3	-	-	-	+	-
CAF4	-	+	-	+	-
CAF5	+	+	+	+	+
CAF6	-	-	-	+	-
CAF7	+	+	+	+	+
CAF8	-	-	+	+	-
CAP1	+	+	+	+	+
CAP2	+	+	+	+	+
CAP3	+	+	-	+	-
TAF1	-	-	-	+	-
TAF2	-	-	+	+	-
TAF3	-	-	+	+	-
TAF4	+	+	+	+	+
TAF5	-	-	+	+	-
TAP1	+	+	+	+	+
TAP2	-	-	+	+	-
HAF1	-	-	+	+	-
HAF2	-	-	-	+	-
HAF3	-	-	+	+	-
HAF4	-	+	-	-	-
HAF5	+	+	-	+	-
HAP1	-	-	+	+	-
HAP2	+	+	+	+	+
<i>A. niger</i> ATCC 9142	-	-	-	-	-
<i>F. oxysporum</i> PTCC 5115	-	-	-	-	-
<i>A. parasiticus</i> ATCC15517	+	+	+	+	+
<i>P. purporogenome</i> PTCC 5212	-	-	-	-	-

S: Silage, C: Concentrate, T: TMR, H: Hay, AF: *A. flavus*, and AP: *A. parasiticus*

various geographical regions. Another important point to consider is that *A. flavus* can grow at low (11-14%) humidity levels (Pitt and Hocking, 1997; Macioro *et al.*, 2007).

In the present study, similar to Khosravi *et al.* (2004), the most frequent isolated fungi were found in concentrate samples rather than other feedstuffs. In another study carried out in Iran by Ghiasian and Maghsoud (2011), concentrate feed was reported to be the most contaminated, with mean colony counts of  $7.25 \times 10^2$  and  $7.50 \times 10^2$  CFU/g for *A. flavus* and *A. parasiticus*, respectively.

In our study, similar to Khosravi *et al.* (2004), the lowest fungal contamination frequency was found in silage. The incidence rate of fungal contamination in both dairy farm samples were (63.31%) and (67.18%), respectively, and no significant difference was detected between farm types ( $P>0.05$ ). Similar results regarding Iranian farm types were reported by Ghiasian and Maghsoud (2011).

PCR is a method of choice for the diagnosis of aflatoxigenic molds (Shapira *et al.*, 1996; Erami *et al.*, 2007). In the present work, using a set of four primers *aflR*, *omtA*, *ver1* and *nor1*, a multiplex PCR procedure was used to detect genes involved in the aflatoxin biosynthesis pathway. Primers *omt-1*, *nor-1*, *ver-1*, are three structural genes used for the biosynthesis of aflatoxin. The *aflR* gene, that codes for a regulatory factor, seemed to be involved in the activation of the transcript of pathway genes (Woloshuk *et al.*, 1994). It was also found to regulate aflatoxin biosynthesis. The *omt* gene was found to be involved in the conversion of sterigmatocystin to o-methylsterigmatocystin in the aflatoxin biosynthetic pathway. The results indicated that all aflatoxigenic strains of *A. flavus* (5 isolates) and *A. parasiticus* (5 isolates) contained the four tested: *nor-1*, *ver-1*, *omtA*, and *aflR* genes. In our study, 10 isolates (35.71%) of 28 strains of tested *A. flavus* and *A. parasiticus* showed a quadruplet pattern, indicating the presence of all genes which encode for functional products and their involvement in the aflatoxin biosynthetic pathway (Yu *et al.*, 2004a, b). These strains had a quadruplet DNA banding pattern, indicating the presence of the four genes in the aflatoxin biosynthetic pathway. In contrast, non-aflatoxigenic strains showed different band patterns comprising of 1, 2 and 3 bands. These results complement those of the TLC aflatoxin detection method, and were in agreement with the findings of Rashid *et al.* (2008), who concluded that aflatoxigenic isolates of *A. flavus* and *A. parasiticus* had all four *nor1*, *ver1*, *omtA*, and *aflR* genes.

In our study, we found that conventional methods of using cultural media for aflatoxin production distinguished perfectly between aflatoxin-producing and non-producing strains. Unfortunately, these methods are time-consuming and labor-intensive, and can fail to detect some aflatoxin-producing strains due to the fact that aflatoxin production instability may occur in certain aflatoxigenic strains growing in culture media (Criseo *et al.*, 2001). Using multiplex PCR utilizing primers

targeting the *aflR*, *nor-1*, *ver-1* and *omt-A* genes appears to offer some promise in detecting aflatoxigenic molds. This study confirms the importance of further surveillance of mycotoxicogenic fungi and mycotoxin occurrence in feedstuffs in Iran.

## Acknowledgements

The authors express their special thanks to Dr. J. Mehrzad for his kind comments on revising the paper and Mrs. S. Khajenasiri for technical help. Guidance and help on the aflatoxin measurement of the samples by TLC method and interpretation of the results in this study has been conducted by Dr. R. Rezaeian-Doloei. This research was supported by grant No. 16865 from the Research Council of the Ferdowsi University of Mashhad.

## References

- Accensi, E; Abarca, ML and Cabanes, FJ** (2004). Occurrence of *Aspergillus* species in mixed feeds and component raw materials and their ability to produce ochratoxin A. *Food Microb.*, 21: 623-627.
- Chang, PK; Horn, BW and Dorner, JW** (2005). Sequence breakpoints in the aflatoxin biosynthesis gene cluster and flanking regions in nonaflatoxigenic *Aspergillus flavus* isolates. *Fungal Genet. Biol.*, 42: 914-923.
- Chang, PK; Yu, J; Bhatnagar, D and Cleveland, TE** (1999a). The carboxy-terminal portion of the aflatoxin pathway regulatory protein AFLR of *Aspergillus parasiticus* activates GAL1:lacZ gene expression in *Saccharomyces cerevisiae*. *Appl. Environ. Microbiol.*, 65: 2508-2512.
- Chang, PK; Yu, J; Bhatnagar, D and Cleveland, TE** (1999b). Repressor-AFLR interaction modulates aflatoxin biosynthesis in *Aspergillus parasiticus*. *Mycopathologia*, 147: 105-112.
- Criseo, G; Bagnara, A and Bisignano, G** (2001). Differentiation of aflatoxin-producing and non-producing strain of *Aspergillus flavus* group. *J. App. Microb.*, 33: 291-295.
- Ehrlich, KC; Montalbano, BG; Bhatnagar, D and Cleveland, TE** (1998). Alteration of different domains in AFLR affects aflatoxin pathway metabolism in *Aspergillus parasiticus* transformants. *Fungal Genet. Biol.*, 23: 279-287.
- Ehrlich, KC and Yu, J** (2010). Aflatoxin-like gene clusters and how they evolved. In: Rai, M and Varma, A (Eds.), *Mycotoxins in food, feed, and bioweapons*. New York, Springer. PP: 65-75.
- Erami, M; Hashemi, SJ; Pourbakhsh, SA; Shahsavandi, S; Mohammadi, S; Shooshtari, AH and Jahanshiri, Z** (2007). Application of PCR on detection of aflatoxinogenic fungi. *Arch. Razi Inst.*, 62: 95-100.
- Ghiasian, SA and Maghsoud, AH** (2011). Occurrence of aflatoxigenic fungi in cow feeds during the summer and winter season in Hamadan, Iran. *Afr. J. Microbiol. Res.*, 5: 516-521.
- Keller, NP; Kantz, NJ and Adams, TH** (1994). *Aspergillus nidulans* verA is required for production of the mycotoxin sterigmatocystin. *Appl. Environ. Microbiol.*, 60: 1444-1450.
- Khosravi, AR; Shokri, H; Yahyaraeyat, R and Soltani, M**

- (2004). Isolation of toxigenic and nontoxigenic fungi from feedstuff referred to the center of mycology. *J. Vet. Res.*, 59: 221-226.
- Klich, MA** (2002). *Identification of common Aspergillus species*. Utrecht, Netherlands, CBS. P: 116.
- Konietzny, U and Greiner, R** (2003). The application of PCR in the detection of mycotoxicogenic fungi in foods. *Braz. J. Microbiol.*, 34: 283-300.
- Macioro, KG; Herrera, P; Jones, FT; Pillai, SD and Ricke, SC** (2007). Effect on poultry and livestock of feed contamination with bacteria and fungi. *Anim. Feed Sci. Tech.*, 133: 109-136.
- Mehrzed, J; Klein, G; Kamphues, J; Wolf, P; Grabowski, N and Schuberth, HJ** (2011). *In vitro* effects of very low levels of aflatoxin B1 on free radicals production and bactericidal activity of bovine blood neutrophils. *Vet. Immunol. Immunopathol.*, 141: 16-25.
- Moubasher, H; Abutaleb, A and Senousy, HH** (2013). Molecular differentiation between aflatoxinogenic and non-aflatoxinogenic strains of *Aspergillus flavus* and *Aspergillus parasiticus*. *Microbiology*, 82: 642-646.
- Pitt, JI and Hocking, AD** (2009). *Fungi and food spoilage*. 3rd Edn., New York, Springer-Verlag. PP: 3-9.
- Rahimi, P; Sharifnabi, B and Bahar, M** (2008). Detection of aflatoxin in *Aspergillus* species isolated from pistachio in Iran. *Phytopathology*, 156: 15-20.
- Rashid, M; Khalil, S; Ayub, N; Ahmed, W and Ghaffarkhan, A** (2008). Categorization of *Aspergillus flavus* and *Aspergillus parasiticus* isolates of stored wheat grains in to aflatoxinogenics and non-aflatoxinogenics. *Pak. J. Bot.*, 40: 2177-2192.
- Rodrigues, P; Armando, V; Kozakiewicz, Z and Lima, N** (2009). A polyphasic approach to the identification of aflatoxinogenic and non-aflatoxinogenic strain of *Aspergillus* section *flavi* isolation from Portuguesa almond. *Food Microbiol.*, 129: 187-193.
- Rosa, CAR; Cavaglieri, LR; Ribeiro, JMM; Keller, KM;**
- Alonso, VA; Chiacchiera, SM and Dalcero, AM** (2008). Mycobiota and naturally-occurring ochratoxin A in dairy cattle feed from Rio de Janeiro state, Brazil. *World Mycotoxin J.*, 1: 195-201.
- Saleemi, MK; Khan, MZ; Ahrar, K and Javed, I** (2010). Mycoflora of poultry feeds and mycotoxins producing potential of *Aspergillus* species. *Pak. J. Bot.*, 42: 427-434.
- Shapira, R; Paster, N; Eyal, O; Menashero, M; Mett, A and Salomon, R** (1996). Detection of aflatoxigenic mold in grain by PCR. *App. Environ. Microbiol.*, 62: 3270-3273.
- Somashekhar, D; Rati, ER; Anad, S and Chandrashekhar, A** (2004). Isolation, enumeration and PCR characterization of aflatoxinogenic fungi from food and feed samples in India. *Food Microbiol.*, 21: 809-813.
- van der Vossen, JM and Hofstra, H** (1996). DNA based typing, identification and detection systems for food spoilage microorganisms: development and implementation. *Int. J. Food Microbiol.*, 33: 35-49.
- Woloshuk, CP; Foutz, KR; Brewer, JF; Bhatnagar, D; Cleveland, TE and Payne, GA** (1994). Molecular characterization of *aflR*, a regulatory locus for aflatoxin biosynthesis. *App. Environ. Microbiol.*, 60: 2408-2414.
- Yelton, MM; Hamer, JE and Timberlake, WE** (1984). Transformation of *Aspergillus nidulans* by using a trpC plasmid. *Proceedings of the National Academy of Sciences of the USA*, 81: 1470-1474.
- Yu, J** (2012). Current understanding on aflatoxin biosynthesis and future perspective in reducing aflatoxin contamination. *Toxins*, 4: 1024-1057.
- Yu, J; Bhatnagar, D and Cleveland, TE** (2004a). Completed sequence of aflatoxin pathway gene cluster in *Aspergillus parasiticus*. *FEBS Lett.*, 564: 126-130.
- Yu, J; Chang, PK; Ehrlich, KC; Cary, JW; Bhatnagar, D; Cleveland, TE; Payne, GA; Linz, JE; Woloshuk, CP and Bennett, JW** (2004b). Clustered pathway genes in aflatoxin biosynthesis. *Appl. Environ. Microbiol.*, 70: 1253-1262.

# Summaries in Persian

## خلاصه مقالات به زبان فارسی

مقاله کامل: تأثیر استرس گرمایی بر پروفایل بیان ژن‌های مربوط به آپوپتوز در سلول‌های تک هسته‌ای خون محیطی گاو دوره انتقالی نژاد ساهیوال

آنجلی سومال<sup>۱</sup>، آنجلی آگاروال<sup>۲</sup> و رامش چاندرا یوپدیوای<sup>۲</sup>

<sup>۱</sup>دانشجوی دکترای تخصصی فیزیولوژی دامپزشکی، بخش فیزیولوژی و اقلیم شناسی (P&C)، پژوهشکده تحقیقات دامپزشکی هند، ایزاتناکار، ۲۴۳۱۲۲، باریلی،  
یوت پرداش، هند؛ <sup>۲</sup>بخش فیزیولوژی گاو شیری، پژوهشکده ملی تحقیقات گاو شیری، کرنال-۱۳۲۰۱، هریانا، هند

(دریافت مقاله: ۱ دی ۱۳۹۳، پذیرش نهایی: ۲۳ اسفند ۱۳۹۳)

این مطالعه به منظور بررسی اثر استرس گرمایی بر الگوی بیان ژن‌های مرتبط با آپوپتوز در حوالی زایمان گاوهای دوره انتقالی (فاز انتقالی قبل و بعد از زایمان) نژاد ساهیوال انجام گرفت. برای این منظور، ۱۲ گاو ساهیوال آبستن خشک از مرکز تحقیقات دامهای اهلی در پژوهشکده ملی تحقیقات گاو شیری، کرنال انتخاب شدند. گاوهای به دو گروه شامل شش گاو ساهیوال در هر گروه تقسیم شدند. گاوهای گروه I تحت شرایط دمایی معتدل ( $29/9^{\circ}\text{C}$ ) و گاوهای گروه II در فصل تابستان ( $47/3^{\circ}\text{C}$ ) زایمان کردند. نمونه‌های خونی در روزهای ۰، ۱۵ و ۱۵ نسبت به روز زایمان جمع‌آوری گردیدند. سلول‌های تک هسته‌ای خون محیطی (PBMC) مشخص شده و کل RNA برای بیان mRNAs مربوط به BCL-2 (لغومای سلول-B)، BAX (کشته آنتاگونیست-2)، BAK (بروتئین X مرتبط با Bcl-2)، CASP-3 (سیستئین-آسپارتیک پروتئازهای-۳) و P53 (پروتئین توموری-۵۳) جدا شدند. اثر تنظیمی بالای CASP-3 بر روی روز زایمان در طی هر دو شرایط دمایی مشخص داشت. مقایسه بین دو شرایط دمایی نشان داد که بین CASP-3، BAK، BAX/BCL-2 و P53 نسبت در PBMC در تابستان در مقایسه با وضعیت دمایی معتدل افزایش یافت که حساسیت این سلول‌ها به آپوپتوز را متباور به ذهن می‌کند. بر اساس یافته‌های بالا می‌توان چنین نتیجه‌گیری کرد که هنگام زایمان PBMC نسبت به آپوپتوز حساس‌تر بوده و تابستان که استرس‌زاتر می‌باشد آپوپتوز گاوهای ساهیوال را تشدید می‌کند.

واژه‌های کلیدی: آپوپتوز، PBMC، ساهیوال، استرس گرمایی، گاو دوره انتقالی

**مقاله کامل:** جداسازی اولیه گونه‌های مایکروباکتریوم در گونه‌های مولوس در ترکیه

**پیnar سویم<sup>۱</sup>، سلمین ازr<sup>۲</sup> و فریت راد<sup>۳</sup>**

<sup>۱</sup> وزارت غذا، کشاورزی و دامداری، اداره کل استان کوروم، کوروم، ترکیه؛ <sup>۲</sup> گروه آبزی پروری، دانشکده شیلات دانشگاه مرسین، مرسین ۳۳۱۶۹، ترکیه

(دریافت مقاله: ۲۸ اسفند ۱۳۹۲، پذیرش نهایی: ۱۷ دی ۱۳۹۳)

گونه‌های مایکروباکتریوم اکتیوزئونوتیک خطرات بهداشتی در ماهی و انسان دارد. در این مطالعه، وجود گونه‌های مایکروباکتریوم اکتیوزئونوتیک در شاه ماهی (مولوس بارباتوس بارباتوس) و شاه ماهی قرمز (مولوس سورمولیتوس)، گونه‌های بسیار صید شده در دریای مدیترانه و اژه مورد بررسی قرار گرفت. تعداد ۲۰۸ نمونه ماهی تهیه شده از ماهیگیرهای در شهرستان مرسین (ترکیه) مورد مطالعه قرار گرفتند. گونه‌های مایکروباکتریوم با استفاده از قراردادی جداسازی شده و توسط واکنش زنجیره‌ای پلیمراز در سطح گونه PCR-RFLP در مولوس در سطح گونه شناسایی شده‌اند. ۱۳ گونه مایکروباکتریوم در ۱۳ نمونه ماهی (۶/۲۵٪) شناسایی شدند. چهار گونه مایکروباکتریوم به عنوان مایکروباکتریوم ژن‌آونس، سه گونه به عنوان مایکروباکتریوم فورتیوتوم، سه گونه به عنوان مایکروباکتریوم اسکروفولاسئوم، یک گونه به عنوان مایکروباکتریوم مارینوم، یک گونه به عنوان مایکروباکتریوم واسه و یک گونه به عنوان مایکروباکتریوم اوروم شناسایی شدند. هیچ گونه علامتی از مایکروباکتریوز در نمونه‌های ماهی مشاهده نشد. یافته‌های این مطالعه می‌توانند به مطالعات بعدی بر روی گونه‌های مایکروباکتریوم اکتیوزئونوتیک در غذاهای دریابی کمک نمایند.

**واژه‌های کلیدی:** بیماری ماهی، اینمی غذا، گونه‌های مایکروباکتریوم، شاه ماهی (مولوس بارباتوس بارباتوس)، شاه ماهی قرمز (مولوس سورمولیتوس)

**مقاله کامل:** تعیین خصوصیات گونه‌های توکسین‌زای آسپرژیلوس فلاوس و آسپرژیلوس پارازیتیکوس جدا شده از خوراک دام در شمال شرق ایران

**الهام داوری<sup>۱</sup>، محمد محسن‌زاده<sup>۲</sup>، غلامرضا محمدی<sup>۳</sup>  
و رویا رضائیان دلوئی<sup>۴</sup>**

<sup>۱</sup> دانش‌آموخته دانشکده دامپزشکی دانشگاه فردوسی مشهد، مشهد، ایران؛ <sup>۲</sup> گروه بهداشت مواد غذایی و آبزیان، دانشکده دامپزشکی دانشگاه فردوسی مشهد، مشهد، ایران؛ <sup>۳</sup> گروه علوم درمانگاهی، دانشکده دامپزشکی دانشگاه فردوسی مشهد، مشهد، ایران؛ <sup>۴</sup> گروه زراعت و اصلاح نباتات، واحد مشهد، دانشگاه آزاد اسلامی، مشهد، ایران

(دریافت مقاله: ۱۰ اسفند ۱۳۹۲، پذیرش نهایی: ۵ آذر ۱۳۹۳)

آفلاتوكسین‌ها، متabolیت‌های ثانویه تولید شده به وسیله بعضی از گونه‌های آسپرژیلوس به ویژه آسپرژیلوس فلاوس و آسپرژیلوس پارازیتیکوس می‌باشند که باعث آلودگی مواد غذایی و یا خوراک دام می‌شوند. این مطالعه با هدف ارزیابی آلودگی خوراک دام به انواع آسپرژیلوس و تشخیص ژن‌های موثر در مسیر سنتز آفلاتوكسین در آسپرژیلوس فلاوس و آسپرژیلوس پارازیتیکوس جدا شده از خوراک دام انجام گرفت. تعداد ۱۱۰ نمونه خوراک دام شامل سیلو، کنسانتره، علوفه و خوراک آماده از ۳۰ گاوداری صنعتی و نیمه صنعتی استان خراسان رضوی جمع‌آوری و با استفاده از

روش کشت آزمایشگاهی و واکنش زنجیره‌ای پلیمراز مورد ارزیابی قرار گرفت. تعداد ۶۸ (۶۱/۸۲٪) سویه آسپرژیلوس از ۱۱۰ نمونه خوراک دام مورد بررسی، جداسازی گردید. بیشترین میزان آلودگی به انواع آسپرژیلوس فومیگاتوس (۲۱/۸۱٪)، سپس آسپرژیلوس فلاوس (۱۷/۲۷٪)، آسپرژیلوس نایجر (۱۰٪)، آسپرژیلوس پارازیتیکوس (۸/۱۸٪) و آسپرژیلوس اروزیه (۴/۵۴٪) تعلق داشت. از بابت میزان آلودگی قارچی بین گاوداری‌های صنعتی و نیمه صنعتی هیچگونه اختلاف معنی‌داری وجود نداشت ( $P > 0.05$ ). از آزمایش واکنش زنجیره‌ای پلیمراز چندگانه برای تشخیص چهار ژن اصلی (*nor-1*, *ver-1*, *omtA*, *aflR*) مسؤول تولید آنزیم‌های کلیدی در چرخه بیوسنتز آفلاتوكسین در آسپرژیلوس فلاوس و آسپرژیلوس پارازیتیکوس استفاده گردید. از ۲۸ سویه آسپرژیلوس فلاوس و آسپرژیلوس پارازیتیکوس جدا شده تعداد ۱۰ جدایه (۳۵/۷۱٪) واحد چهار ژن اصلی با باندهای مشخص بودند. کلیه جدایه‌ها از بابت تولید آفلاتوكسین با استفاده از روش کروماتوگرافی لایه نازک مورد تایید قرار گرفتند. ۱۸ جدایه (۶۴/۲۹٪) دارای ۱، ۲ یا ۳ باند بودند. نتایج به دست آمده در این مطالعه نشان داد که تشخیص سریع و اختصاصی قارچ‌های توکسین‌زا برای اطمینان از سلامت میکروبیولوژیکی خوراک دام حائز اهمیت می‌باشد.

**واژه‌های کلیدی:** آفلاتوكسین، گونه‌های آسپرژیلوس، خوراک دام، واکنش زنجیره‌ای پلیمراز چندگانه

## مقاله کامل: تاثیر افزودن امولسیون کننده به جیره‌های حاوی منابع مختلف چربی بر عملکرد اردک‌های خاکی کمپل

زُسانگپوای<sup>۱</sup>، آملان کومار پاترا<sup>۲</sup> و گوتام سامانتا<sup>۲</sup>

اکارشناس ارشد، گروه تغذیه دام، دانشکده دامپژشکی و علوم دامی دانشگاه علوم دامی و شیلات بنگال غربی، سارانی B. K. ۳۷، بلگاجیا، کلکته، ۷۰۰۰۳۷، بنگال غربی، هند؛ <sup>۲</sup>گروه تغذیه دام، دانشکده دامپژشکی و علوم دامی دانشگاه علوم دامی و شیلات بنگال غربی، سارانی B. K. ۳۷، بلگاجیا، کلکته، ۷۰۰۰۳۷، بنگال غربی، هند

(دریافت مقاله: ۸ بهمن ۱۳۹۲، پذیرش نهایی: ۲۹ بهمن ۱۳۹۳)

یک آزمایش به منظور مطالعه اثرات یک امولسیون کننده (گلیسرول پلی اتیلن گلیکول رسینولئات، GPGR) و منابع مختلف چربی بر روی عملکرد اردک‌های خاکی کمپل انجام گرفت. اردک‌ها به پنج گروه با سه تکرار (۱۰ اردک به ازای هر تکرار) در هر گروه تقسیم‌بندی شدند. درمان‌ها، جیره کنترل (C1)، بدون افزودن روغن و امولسیون کننده، جیره کنترل افزوده شده با ۲٪ روغن سویا (C2) بودند. برای گروه دیگر، بلال ذرت با سبوس برنج جایگزین و به ۲٪ روغن سویا به همراه امولسیون کننده (T1)، ۲٪ روغن خرما به اضافه امولسیون کننده (T2)، و ۰.۲٪ چربی خوک به اضافه امولسیون کننده (T3) افزوده شد. مصرف خوراک تحت تأثیر هیچ یک از درمان‌های غذایی قرار نگرفت ( $P > 0.1$ ). همچنین اثری از درمان غذایی بر روی افزایش وزن بدن و بازدهی خوراک به استثنای گروه T3، که افزایش وزن بدن در مقایسه با سایر درمان‌ها کمتر و بازدهی خوراک کمتر از C2، T1 و T2 بود، وجود نداشت. قابلیت متابولیزه کردن ماده خشک در گروه‌های T1، T2 و T3 نسبت به گروه‌های C1 و C2 میل به کاهش داشت ( $P = 0.08$ ). مقادیر انرژی قابل متابولیزه به طور معنی‌داری در گروه C2 نسبت به گروه C1 بیشتر بوده ( $P < 0.05$ ، ولی در میان گروه‌های C1، T1، C2، T2 و T3 مشابه بودند). قابلیت متابولیزه کردن چربی و سایر مواد مغذی تحت تأثیر درمان‌های غذایی قرار نگرفتند ( $P < 0.10$ ). صفات اصلی لاشه در میان درمان‌ها تحت تأثیر قرار نگرفتند ( $P > 0.10$ ). به عنوان نتیجه‌گیری، روغن سویا و روغن خرما همراه با GPGR به عنوان امولسیون کننده می‌توانند به جیره‌های حاوی مقادیر زیاد سبوس برنج بدون اثر بر عملکرد افزوده شوند، در حالی که چربی خوک ممکن است عملکرد اردک‌ها را به طور معکوس تحت تأثیر قرار دهد.

**واژه‌های کلیدی:** امولسیون کننده، چربی‌ها، رشد، اردک‌های خاکی کمپل، مصرف مواد مغذی

## آنالیز انسجام کروماتین و آسیب DNA اسپرماتوزوآی بوفالو

مقاله کامل:

کریما غ. ام. محمود<sup>۱</sup>, عبدالحامد ای. ای. السوکری<sup>۲</sup>, آلا ای. عبدالغفار<sup>۳</sup>,  
محمود ای. ای. ابوالروز<sup>۳</sup> و یوسف اف. احمد<sup>۱</sup>

گروه تولید مثل دام و تلقیح مصنوعی، مرکز تحقیقات ملی، الدقی، الجیزه، مصر؛ <sup>۲</sup>اداره کل خدمات دامپزشکی، الدقی، الجیزه، مصر؛ <sup>۳</sup>گروه مامایی، دانشکده دامپزشکی دانشگاه بنها، الکالیوبیا، مصر

(دریافت مقاله: ۲۱ مرداد ۱۳۹۳، پذیرش نهایی: ۱ آذر ۱۳۹۳)

این مطالعه به منظور تخمین انسجام کروماتین و آسیب DNA به وسیله الکتروفورز DNA و سنجش کامت در مایع منی تازه و منجمد بوفالو انجام گرفت. نمونه‌های مایع منی از چهار بوفالوی نر جمع‌آوری شدند، و مایع منی بعد از فریز از لحظه تحرک اسپرم، زنده مانی، ناهنجاری‌های اسپرم، انسجام کروماتین و آسیب DNA بررسی شد. اختلاف معنی‌داری در پارامترهای مایع منی در میان گاوها نر بعد از آب شدن پیدا شد. اختلاف‌های بسیار معنی‌داری ( $P < 0.001$ ) در انسجام کروماتین بین مایع منی تازه و منجمد مشاهده شدند. اختلاف معنی‌داری بین گاوها از نظر انسجام کروماتین در مایع منی تازه وجود نداشت، اما در مایع منی منجمد در میان گاوها اختلاف معنی‌داری شناسایی شد ( $P < 0.05$ ). قطعه قطعه شدن DNA به وسیله الکتروفورز ژل آگاروز دیده نشد. درصد اسپرم با آسیب دیده با سنجش کامت به طور معنی‌داری بین مایع منی تازه و منجمد فرق می‌کرد. رابطه منفی معنی‌داری بین تحرک و آسیب به DNA ( $r = -0.68$ ,  $P < 0.05$ ) وجود داشت و ناهنجاری‌های اسپرم و قطعه قطعه شدن DNA به طور قابل توجهی به شکل مثبت در ارتباط بودند ( $r = 0.59$ ,  $P < 0.05$ ). در نتیجه، ارزیابی آسیب DNA ممکن است اطمینان از نرمال بودن ژنوم را میسر ساخته و بتواند تکامل روش‌های اصلاح شده انتخاب اسپرماتوزوآبا DNA سالم را به منظور استفاده در تلقیح مصنوعی هدایت نماید.

**واژه‌های کلیدی:** بوفالو نر، انسجام کروماتین، آسیب DNA، کیفیت مایع منی

## تأثیر مایع آمنیون جنین جوجه بر روی بازسازی عصب سیاتیک موش صحرایی

مقاله کامل:

غلامحسین فرجاه<sup>۱</sup> و فرزانه فضلی<sup>۲</sup>

مرکز تحقیقاتی نوروفیزیولوژی، گروه آناتومی، دانشکده پزشکی دانشگاه علوم پزشکی ارومیه، ایران؛ <sup>۲</sup>دانشجوی کارشناسی ارشد علوم تشريحی، گروه آناتومی، دانشکده پزشکی دانشگاه علوم پزشکی ارومیه، ارومیه، ایران

(دریافت مقاله: ۱۹ شهریور ۱۳۹۳، پذیرش نهایی: ۲۰ دی ۱۳۹۳)

هدف از این مطالعه تحریبی ارزیابی تاثیر مایع آمنیون جوجه بر برش عرضی عصب سیاتیک موش صحرایی است. ۳۰ سر موش نر صحرایی (اسپراغو-داولی) بالغ به وزن ۲۷۵ تا ۳۰۰ گرم به طور تصادفی به سه گروه شامل (۱) مایع آمنیون، (۲) نرمال سالین و (۳) شم جراحی تقسیم شدند. مایع آمنیون از حفره آمنیون جنین جوجه ۱۴ روزه کشیده شد. عصب سیاتیک نمایان شد و به طور عرضی قطع شد. بلافارسله ترمیم اپی نوریال انجام شد. به حیوانات تحت درمان با مایع آمنیون ۲ میلی لیتر بر کیلوگرم به صورت زیر جلدی و به طور روزانه، ۵ بار در هفتة و به مدت دو هفتة تزریق شد. همه حیوانات توسط شاخص حرکتی عصب سیاتیک، الکتروفیزیولوژی، بافت شناسی و ایمونوھیستوتولوژی در ۲۸ و ۵۶ روز پس از

جراحی ارزیابی شدند. شاخص حرکتی عصب سیاتیک در روزهای ۲۱ و ۲۸ پس از جراحی در بین گروههای مایع آمنیون و نرمال سالین از لحاظ آماری معنی دار بود ( $P < 0.05$ ). در روز ۲۸، تعداد آکسون های میلین دار در گروه مایع آمنیون از لحاظ آماری بیشتر از گروه نرمال سالین بود ( $P < 0.05$ ). در روزهای ۲۸ و ۵۶ پس از جراحی، میانگین سرعت هدایت عصب در گروه مایع آمنیون نسبت به گروه نرمال سالین سریع تر بود، اما این اختلاف معنی دار نبود ( $P > 0.05$ ). نتایج این مطالعه نشان می دهد که مایع آمنیوتیک جنین جوجه، بازسازی عصب محیطی را تقویت می نماید.

**واژه های کلیدی:** مایع آمنیون، جنین جوجه، بازسازی عصب، موش صحرایی

## مقاله کامل: شناسایی و تفیریق سویه های وحشی و واکسن ویروس دیستمپر سگ سanan توسط واکنش زنجیره ای پلیمراز داپلکس با رونویسی معکوس

زیاً-یینگ دونگ<sup>۱</sup>، ون-هو لی<sup>۳</sup>، جون-لینگ ژو<sup>۲</sup>، ون-جون لیو<sup>۱</sup>،  
مینگ-کیو ژا<sup>۴</sup>، یونگ-ون لو<sup>۱</sup> و جین-دینگ چن<sup>۱</sup>

گروه طب پیشگیری دامپزشکی، دانشکده دامپزشکی دانشگاه کشاورزی جنوب چین، منطقه تیان هی، گوانگزو<sup>۵</sup>، چین؛ گروه علوم دامی، دانشکده علوم کشاورزی و مهندسی یینگ دونگ، دانشگاه شاگوان، شاگوان<sup>۵</sup>، چین؛ گارشناس ارشد ویروس، گروه طب پیشگیری دامپزشکی، دانشکده دامپزشکی دانشگاه کشاورزی جنوب چین، منطقه تیان هی، گوانگزو<sup>۵</sup>، چین؛ گارشناس ویروس، گروه طب پیشگیری دامپزشکی، دانشکده دامپزشکی دانشگاه کشاورزی جنوب چین، منطقه تیان هی، گوانگزو<sup>۵</sup>، چین؛ گارشناس ارشد واکسن، گروه طب پیشگیری دامپزشکی، دانشکده دامپزشکی دانشگاه کشاورزی جنوب چین، منطقه تیان هی، گوانگزو<sup>۵</sup>، چین

(دریافت مقاله: ۲۳ دی ۱۳۹۲، پذیرش نهایی: ۲۵ آذر ۱۳۹۳)

ویروس دیستمپر سگ سanan (CDV) عامل دیستمپر سگ سanan (CD) است که بیماری شدید و بسیار واگیری در سگ ها می باشد. در مطالعه حاضر، یک روش واکنش زنجیره ای پلیمراز داپلکس با رونویسی معکوس (RT-PCR) برای شناسایی و تمایز سویه های نوع وحشی و واکسن CDV تهیه شد. چهار پرایمر به منظور شناسایی و افتراق بین ویروس ها به ترتیب به وسیله تولید فراورده های ۷۸۱ cDNA bp و ۶۳۸ bp طراحی شدند. علاوه بر این، روش RT-PCR دو رشته ای برای شناسایی ۶۷ نمونه مزرعه مشکوک به CD از استان گوانگ دونگ در چین استفاده گردید. به عنوان نتیجه، ۳۳ نمونه مشابه نوع وحشی بودند. روی هم رفته، روش RT-PCR دو رشته ای ویژگی و حساسیت بالایی دارد که می تواند برای شناسایی و تفیریق مؤثر واکسن CDV و سویه نوع وحشی مورد استفاده قرار گیرد و نشان دهنده آن است که می تواند در شناسایی بالینی و بررسی اپیدمیولوژیکی به کار رود.

**واژه های کلیدی:** ویروس دستمپر سگ سanan، تمایز، RT-PCR داپلکس، حساسیت، ویژگی

مقاله کامل:

## جداسازی و شناسایی مولکولی مایکوپلاسمای اکوئی جنیتالیوم از دستگاه تناسلی اسب سانان در شمال هند

کاپیل نهرا<sup>۱</sup>، راجنیش رانا<sup>۲</sup>، کوناساگارا ناگالیکار ویسواس<sup>۳</sup>، تاچاپولی رمش آرون<sup>۱</sup>،  
ویجندر پال سینگ<sup>۴</sup>، آجی پراتاپ سینگ<sup>۵</sup> و شیاما نارایانا پرابهو<sup>۶</sup>

<sup>۱</sup>دانش آموخته پژوهشکده تحقیقات دامپزشکی هند، ایزاتناگار، ۲۴۳۱۲۲، باریلی، یوت پرداش، هند؛ <sup>۲</sup>آزمایشگاه رفال مایکوپلاسمای، بخش باکتری شناسی و قارچ شناسی، پژوهشکده تحقیقات دامپزشکی هند، ایزاتناگار، ۲۴۳۱۲۲، باریلی، یوت پرداش، هند؛ <sup>۳</sup>بخش باکتری شناسی و قارچ شناسی، پژوهشکده تحقیقات دامپزشکی هند، ایزاتناگار، ۲۴۳۱۲۲، باریلی، یوت پرداش، هند؛ <sup>۴</sup>گروه میکروبیولوژی، دانشکده دامپزشکی و علوم دامی (COVs&AH) دانشگاه دامپزشکی بیت دین دایال (DUVASU)، ماتورا، ۲۸۱۰۰۱، بوداپست، هند؛ <sup>۵</sup>دانشجوی دکترای تخصصی آسیب شناسی دامپزشکی، بخش پاتولوژی، پژوهشکده تحقیقات دامپزشکی هند، ایزاتناگار، ۲۴۳۱۲۲، باریلی، یوت پرداش، هند

(دریافت مقاله: ۱۳۹۲ دی، پذیرش نهایی: ۱ آذر ۱۳۹۳)

اگرچه به مایکوپلاسمای اکوئی جنیتالیوم در مشکلات تولید مثلی اسب سانان اشاره شده است، اما به دلیل فقدان آزمایش‌های تشخیصی، اختصاصی شیوع آن تا حد زیادی ناشناخته است. به منظور بر طرف کردن این محدودیت، جفت پرایمرهای اختصاصی گونه را تکامل بخشیده و بهینه‌سازی کردایم که توالی‌های ژن *rpoB* مایکوپلاسمای اکوئی جنیتالیوم (RNA پلیمراز تحت واحد B) را مورد هدف قرار می‌دهند. ویژگی روش واکنش زنجیره‌ای پلیمراز تکامل یافته در این مطالعه با استفاده از ۱۲ جدایه مزرعه‌ای شامل سویه مایکوپلاسمای اکوئی جنیتالیوم و دیگر گونه‌های مایکوپلاسمای تعیین شد. در مطالعه مزرعه‌ای، تعداد ۱۲۲ نمونه شامل ۵۰ نمونه بالینی و ۷۲ نمونه تصادفی جمع‌آوری شده از مادیان و نریان به منظور شناسایی مایکوپلاسمای اکوئی جنیتالیوم در دستگاه تناسلی اسب سانان با آزمون واکنش زنجیره‌ای پلیمراز اختصاصی گونه تحت بررسی قرار گرفتند. واکنش زنجیره‌ای پلیمراز اختصاصی گونه مایکوپلاسمای اکوئی جنیتالیوم ۲۲/۱۳٪ از نمونه‌ها را مثبت شناسایی کرد، در حالی که ۰/۹٪ از نمونه‌ها با تکنیک قراردادی کشت مثبت بودند. واکنش زنجیره‌ای پلیمراز فراهم شده در این مطالعه توانست برای تشخیص سریع، اختصاصی و دقیق سویه‌های مایکوپلاسمای اکوئی جنیتالیوم مورد استفاده قرار گیرد. طبق اطلاعات نویسنده‌گان، این اولین گزارش راجع به تکامل و ارزیابی واکنش زنجیره‌ای پلیمراز اختصاصی گونه برای شناسایی مایکوپلاسمای اکوئی جنیتالیوم می‌باشد.

واژه‌های کلیدی: تشخیص، مایکوپلاسمای اکوئی جنیتالیوم، واکنش زنجیره‌ای پلیمراز، ژن *rpoB*

## مقاله کامل: بررسی MMP-2 و MMP-9 در سرم سگ‌های مبتلا به بزرگ شدگی اتساعی قلب

سولماز چگینی<sup>۱</sup>، زهره خاکی<sup>۲</sup>، داریوش شیرانی<sup>۳</sup>، علیرضا وجهی<sup>۴</sup>،  
محمد طاهری<sup>۵</sup>، یارا تمرجی<sup>۶</sup> و عبدالرزاک رستمی<sup>۷</sup>

<sup>۱</sup>رژیدنت کلینیکال پاتولوژی، بخش کلینیکال پاتولوژی، دانشکده دامپزشکی دانشگاه تهران، تهران، ایران؛ <sup>۲</sup>بخش داخلی دام کوچک، دانشکده دامپزشکی دانشگاه تهران، تهران، ایران؛ <sup>۳</sup>بخش کلینیکال پاتولوژی، دانشکده دامپزشکی دانشگاه تهران، تهران، ایران؛ <sup>۴</sup>بخش داخلی دام کوچک، دانشکده دامپزشکی دانشگاه تهران، تهران، ایران؛ <sup>۵</sup>بخش رادیوپتیکی، دانشکده دامپزشکی دانشگاه تهران، تهران، ایران؛ <sup>۶</sup>آزمایشگاه دکتر رستمی، دانشکده دامپزشکی دانشگاه تهران، تهران، ایران؛ <sup>۷</sup>رژیدنت داخلی دام کوچک، بخش داخلی دام کوچک، دانشکده دامپزشکی دانشگاه تهران، تهران، ایران؛ <sup>۷</sup>دامپزشک خصوصی، تهران، ایران

(دریافت مقاله: ۲۲ شهریور ۱۳۹۳، پذیرش نهایی: ۱۲ بهمن ۱۳۹۳)

بزرگ شدن اتساعی قلب (DCM) با تغییراتی در میوسیت‌ها و بافت همبندی قلب همراه است. ماتریکس متالوپروتئینازها (MMPs) نقش

مهمی در سازماندهی و بازسازی قلب ایفا می‌کنند. به نظر می‌رسد که ژلاتینازها (MMP-2 و MMP-9) آنزیم‌های مهمی در بروز کارديومایوباتی می‌باشند. در ۲۲ قلاده سگ (گروه بیمار) شامل ۱۱ نر و ۱۱ ماده وجود بزرگ شدگی اتساعی قلب با کمک معاینات بالینی، گوش کردن صدای قلب، رادیوگراف از قفسه سینه و اکوکاردیوگرافی تایید شد. همچنین ۱۷ قلاده سگ سالم (گروه کنترل) با وزن و نژاد مشابه با بیماران به عنوان گروه شاهد انتخاب شدند و کلیه روند تشخیصی در مورد آن‌ها نیز انجام گرفت. سپس ۲ MMP-9 و ۲ MMP-2 سرم گروههای کنترل و بیمار با روش زایموگرافی نیمه کمی اندازه‌گیری شد. بررسی‌ها نشان داد که میزان کلی MMP-9 در گروه بیمار بیشتر از گروه کنترل است و تفاوت معنی‌داری در میزان کلی MMP-2 بین ۲ گروه مشاهده نمی‌شود. در گروه بیمار یافت نشد اما شکل فعل آن در هر دو گروه وجود داشت و فعالیت ۲ MMP در بیماران از نظر آماری معنی‌دار بود. شکل فعل ۹ MMP تنها در بیماران دیده شد. گرچه pro-MMP-9 در هر دو گروه مشاهده گردید اما میزان آن در گروه کنترل به صورت معنی‌داری بیشتر از بیماران بود. از نظر آماری تفاوت معنی‌داری در مقادیر شکل فعل ۲ MMP و ۹ MMP مابین گروههای مختلف بزرگ شدگی قلب (راست، چپ و هر دو سمت) و VHS (مقیاس اندازه قلب بر حسب اندازه مهره‌های کمر) در مقایسه با کنترل مشاهده نگردید. اگر چه تغییراتی در مقادیر ۲ MMP و ۹ MMP سرم سگ‌های مبتلا به DCM وجود دارد، اما به نظر آمده که افزایش ۹ MMP مهتم‌تر از ۲ MMP می‌باشد و هیچکدام از آن‌ها تحت تاثیر بزرگ شدگی قلب یا درجه VHS نیستند.

**واژه‌های کلیدی:** DCM، ماتریکس متالوپروتئیناز، ۲ MMP، ۹ MMP، زایموگرافی

## مقاله کامل: ارزیابی اسپرم‌های منجمد/آب شده از ناحیه دم اپیدیدیم و پتانسیل بارورسازی اسپرم گاوی جمع‌آوری شده از دم اپیدیدیم در محیط آزمایشگاه

آنتونیو چاویرو<sup>۱</sup>، کارلا سرکواپیرا<sup>۱</sup>، جواو سیلووا<sup>۱</sup>، جوانا فرانکو<sup>۱</sup>

<sup>۱</sup> فرناندو موریارا دا سیلووا<sup>۱</sup>

گروه علوم مناطق بیابانی، مرکز تحقیقات و فن‌آوری کشاورزی آذربایجان (CITA-A)، دانشگاه آذربایجان، آنگرا دو هروایسمو ۴۲-۰۰-۷۰۰۰، پرتغال؛<sup>۱</sup> دانشجوی دوره کارشناسی، مرکز تحقیقات و فن‌آوری کشاورزی آذربایجان (CITA-A)، دانشگاه آذربایجان، آنگرا دو هروایسمو ۴۲-۰۰-۷۰۰۰، پرتغال؛<sup>۳</sup> دانش‌آموخته مرکز تحقیقات و فن‌آوری کشاورزی آذربایجان (CITA-A)، دانشگاه آذربایجان، آنگرا دو هروایسمو ۴۲-۰۰-۷۰۰۰، پرتغال؛<sup>۱</sup> کارشناس ارشد، گروه علوم مناطق بیابانی، مرکز تحقیقات و فن‌آوری کشاورزی آذربایجان (CITA-A)، دانشگاه آذربایجان، آنگرا دو هروایسمو ۴۲-۰۰-۷۰۰۰، پرتغال

(دریافت مقاله: ۹ تیر ۱۳۹۳، پذیرش نهایی: ۲۳ اسفند ۱۳۹۳)

در مطالعه حاضر، پتانسیل بارورسازی مایع منی جمع‌آوری شده از اپیدیدیم گاوها نر کشتار شده بعد از انجماد به وسیله تکنیک‌های قراردادی و روش‌های فلوزیتومتری مورد بررسی قرار گرفت. دم اپیدیدیم برش داده شد، و اسپرم‌ها جمع‌آوری شده و از نظر حجم، غلظت اسپرم و انسجام آکروزوم و غشا با استفاده از یک فلوزیتومتر ارزیابی شدند. پتانسیل بارورسازی اسپرم به وسیله لقادح داخل آزمایشگاهی (IVF) مورد آزمایش قرار گرفت. قبل از فریز کردن، غلظت متوسط اسپرم  $10^6 \text{ sperm/ml} \pm 27/5 \times 216 \pm 216$  بود. زنده مانی اسپرم به طور متوسط  $86/5 \pm 4/5$  بود. درصد متوسط اسپرم با آکروزوم و غشا پلاسمایی سالم قبل و بعد از انجماد به ترتیب  $90/8 \pm 1/9$  و  $90/7 \pm 2/9$  بود ( $P \geq 0.05$ ). متوسط میزان بارورسازی، با استفاده از مایع منی منجمد/آب شده ناحیه اپیدیدیم  $64/1 \pm 3/9$  بارورسازی بدون اختلاف معنی‌دار ( $P > 0.05$ ) بود. میان گاوها به دست آمد. در رابطه با گاوها منظور شده به عنوان گروه کنترل، میزان بارورسازی  $72/2 \pm 4/5$  بود، که به طور معنی‌داری با میزان بارورسازی مایع منی منجمد/آب شده اپیدیدیم اختلاف داشت ( $P < 0.05$ ). در نتیجه، امکان بهره‌گیری از تکنیک‌های آزمایشگاهی با اسپرماتوزوآهای منجمد جمع‌آوری شده از اپیدیدیم گاوها با استفاده از روش انجماد با سرعت تحت کنترل به همراه نمودار انجماد از قبیل تعیین شده، و همراه با ارزیابی زنده مانی اسپرم با تکنیک‌های معمول و روش‌های فلوزیتومتری، با قابلیت بارورسازی اسپرماتوزوآهای اپیدیدیمی منجمد وجود دارد.

**واژه‌های کلیدی:** گاوی، روش انجماد، اپیدیدیم، لقادح داخل آزمایشگاهی، مایع منی

## مقاله کامل: عفونت آئروموناس سوبریا در ماهی لوج (*Misgurnus mizolepis*) پرورشی در کره جنوبی، یک بررسی باکتریولوژیک

جینهها یو<sup>۱</sup>، بُن-هیونگ کو<sup>۲</sup>، دا-هیون کیم<sup>۳</sup>، دونگ-وان کیم<sup>۴</sup>  
و سونگ-وو پارک<sup>۵</sup>

<sup>۱</sup>بخش قرنطینه و بازرگانی، اداره خدمات ملی کیفیت فرآوردهای شیلات، یانگدو-گو، بوسان، کره جنوبی؛ <sup>۲</sup>کارشناس ارشد، گروه حیات آبزیان، دانشگاه ملی کوسان، گانسان-سی، جنوب کوسان، کره جنوبی؛ <sup>۳</sup>گروه حیات آبزیان، دانشگاه ملی کوسان، گانسان-سی، جنوب کوسان، کره جنوبی؛ <sup>۴</sup>دونگ زیونگ میکروارگانیسم، ایکسان-سی، جنوب کوسان، کره جنوبی

(دریافت مقاله: ۳ دی ۱۳۹۳، پذیرش نهایی: ۲۳ اسفند ۱۳۹۳)

یک وقوع بیماری در ژوئن ۲۰۱۳ در میان ماهیان لوج پرورشی یافته در مزارع استخراج پرورشی در شهر جانگ سئونگ-گان، جنوب کوسان-دلو، کره جنوبی رخ داد. میزان مرگ و میر روزانه به ۱/۲٪ در مزرعه رسید. عالیم بالینی مشخص زخم خونریزی دهنده در قسمت میانی سر و اروزیون خونریزی دهنده سپریوش بودند. بر اساس خصوصیات بیوشیمیایی، باکتری مسبب جدا شده از ماهی بیمار به عنوان آئروموناس سوبریا شناسایی شد. جدایه، دو ژن همولیتیک، ژن‌های آترولیزین (*sob*) و همولیزین (*asaI*) را بیان نمود. از لحاظ هیستوپاتولوژیک، کبد دزیرسانس و اکتوپلور هپاتوسولوار و پر خونی غیر فعلی در سینوزوئیدها را نشان داد. طحال اسپلنوسیت‌های نکروز شده و پولپ‌های خونریزی دهنده داشت. در کلیه، تخریب گلومرول‌ها، خونریزی و نکروز توبول‌های کلیوی مشاهده شدند. عفونت تجربی (دوز عفونی  $10^7$ ،  $10^6$  و  $10^8$  ماهی لوج  $\text{cfu fish}^{-1}$ ) پرورشی سالم به همراه جدایه منجر به تکامل عالیم بالینی مشابه عالیم دیده شده در مزرعه گردید. در تزریق همراه با دوز عفونی  $10^6$   $\text{cfu fish}^{-1}$ ، نرخ مرگ و میر  $10/3\%$  در مدت هفت روز پس از عفونت بود. زمانی که دوز عفونی  $10^7$   $\text{cfu fish}^{-1}$  به ازای هر ماهی استفاده شد، نرخ مرگ و میر طی مدت زمان دو روز به  $60/9\%$  رسید. به شیوه دیگر، زمانی که با  $10^8$   $\text{cfu fish}^{-1}$  تزریق شدند، همه ماهی‌ها در مدت یک روز مردند. نتایج اثبات نمودند که آئروموناس سوبریا در شیوع و مرگ و میر ماهی لوج پرورشی دخالت دارد.

واژه‌های کلیدی: آئروموناس سوبریا، همولیزین، میسگورنوس میزوپلیس، ماهی لوج

## مقاله کوتاه: شناسایی مولکولی آلودگی پیروپلاسموز اسبی در الاغ‌های استان خراسان شمالی

ولی عابدی<sup>۱</sup>، غلامرضا رزمی<sup>۱</sup>، حسام سیفی<sup>۲</sup> و ابوالقاسم نقیبی<sup>۱</sup>

<sup>۱</sup>گروه پاتوبیولوژی، دانشکده دامپزشکی دانشگاه فردوسی مشهد، مشهد، ایران؛ <sup>۲</sup>گروه علوم درمانگاهی، دانشکده دامپزشکی دانشگاه فردوسی مشهد، مشهد، ایران

(دریافت مقاله: ۲۹ اردیبهشت ۱۳۹۳، پذیرش نهایی: ۱۷ اسفند ۱۳۹۳)

پیروپلاسموز اسی ناشی از تیلریا اکویی و بازیا کابالی یک بیماری انگلی داخل گلبول قرمزی در تک سمی‌های سراسر جهان می‌باشد. هدف این بررسی شناسایی مولکولی تیلریا اکویی و بازیا کابالی در الاغ‌های شمال شرق ایران بود و نیز ارتباط میزان آلودگی و فاکتورها خطر وابسته به میزان مورد تجزیه و تحلیل قرار گرفت. در این مطالعه  $10^6$  راس الاغ به ظاهر سالم در استان خراسان شمالی مورد خونگیری قرار گرفتند. از خون‌های جمع‌آوری شده گسترش خونی تهیه و با گیمسا رنگ آمیزی گردید. DNA نمونه‌های خون نیز استخراج شده و با روش واکنش زنجیره‌ای پلیمراز چندگانه جهت تعیین آلودگی پیروپلاسمی مورد آزمایش قرار گرفتند. در چهار گرفتنده، در چهار گسترش خونی تیلریا اکویی مشاهده شد، همچنین آلودگی تیلریا اکویی در ۵۴ نمونه خون ( $54/94\%$ ) الاغ با روش واکنش زنجیره‌ای پلیمراز چندگانه تعیین گردید. آلودگی بازیا کابالی در

نمونه‌های خون با دو روش میکروسکوپی و مولکولی تعیین نشد. اختلاف معنی‌داری در میزان آلودگی تیلریا اکوبی در لاغ در ارتباط با فاکتورهای وابسته به میزبان مشاهده نشد. این اولین گزارش مطالعه مولکولی درباره پیروپلاسموز اسپی در الاغ‌های ایران می‌باشد. نتایج نشان دادند که تیلریا اکوبی در الاغ‌های خراسان شمالی شایع است.

**واژه‌های کلیدی:** بابزیا کابالی، الاغ، واکنش زنجیره‌ای پلیمراز، تیلریا اکوبی

## مقاله کوتاه: بازسازی سه بعدی ساعد خرگوش نیوزیلندي به وسیله توموگرافی کامپیوتری با آشکارسازهای متعدد

سما آزکادیف<sup>۱</sup>، امرالله اکن<sup>۲</sup>، کمیل بشولوک<sup>۳</sup> و مصطفی اورهان دایان<sup>۴</sup>

اگروه پرستاری، دانشکده بهداشت دانشگاه بتمن، بتمن، ترکیه؛ <sup>۳</sup>گروه آناتومی، دانشکده دامپزشکی دانشگاه سلجوق، کونیا، ترکیه

(دریافت مقاله: ۲۸ اسفند ۱۳۹۲، پذیرش نهایی: ۲۹ بهمن ۱۳۹۳)

هدف از انجام این مطالعه تأیید خصوصیات بیومتریک ساعد (درست نی و نازک نی) خرگوش نیوزیلندي به وسیله بازسازی تصاویر سه بعدی (3D) حاصل از توموگرافی کامپیوتری با آشکارسازهای متعدد (MDCT) بود. تحت بیهوشی عمومی، ساعدهای تعداد ۱۶ خرگوش از هر دو جنس با استفاده از MDCT تشخیصی عمومی تصویربرداری شد. اندازه‌های بیومتریک مدل‌های بازسازی شده از تصاویر MDCT با قدرت تفکیک بالا به طور آماری مورد تجزیه و تحلیل قرار گرفتند. در نتیجه، هنگامی که مقادیر اندازه بیومتریک استخوان‌های مربوطه ساعد مقایسه شدند، تأیید شد که اهمیت آماری داخل دو جنس وجود ندارد، اما بین دو جنس تفاوت‌های مهم معنی‌داری از نظر برخی اندازه‌های بیومتریک وجود داشت. پیشنهاد شده است که نتایج حاصل از مطالعه می‌توانند مطالعات بعدی بر روی سیستم اسکلتی را روشن ساخته و نظریه جدیدی در آموزش آناتومی شکل دهند.

**واژه‌های کلیدی:** توموگرافی کامپیوتری، پیش بازو، مورفومتری، خرگوش، بازسازی سه بعدی

## مقاله کوتاه: اولین بررسی سرولوژیک تب کیو در گاومیش‌های آزاد در چین

مینگ-یانگ بین<sup>۱</sup>، کیوای-دونگ تان<sup>۱</sup>، سی-یوان کیواین<sup>۱</sup>، لینگ-بینگ هو<sup>۱</sup>،  
گوا-هوآ لیو<sup>۳</sup>، دونگ-هوای ژو<sup>۴</sup> و زینگ-کیوان ژو<sup>۴</sup>

کارشناسی علوم دامپزشکی، آزمایشگاه زیست شناسی بر پایه علت شناسی دامپزشکی، موسسه تحقیقات دامپزشکی لانژو، آکادمی علوم کشاورزی چین، لانژو، استان گانسو، چین؛ <sup>۳</sup>گروه انگل شناسی، دانشکده دامپزشکی دانشگاه کشاورزی هونان، چانگشا، استان هونان، چین؛ <sup>۴</sup>آزمایشگاه زیست شناسی بر پایه علت شناسی دامپزشکی، موسسه تحقیقات دامپزشکی لانژو، آکادمی علوم کشاورزی چین، لانژو، استان گانسو، چین؛ <sup>۵</sup>مرکز نوآوری جیانگسو جهت جلوگیری و کنترل بیماری‌های عفونی دام‌های مهم و بیماری‌های مشترک بین دام و انسان، دانشکده دامپزشکی دانشگاه ژانگزو، ژانگزو، جیانگسو، چین

(دریافت مقاله: ۴ آبان ۱۳۹۳، پذیرش نهایی: ۱۴ دی ۱۳۹۳)

هدف از مطالعه حاضر بررسی شیوع سرمی عفونت کوکسیلا بورنتسی در گاومیش‌های آزاد در چین بود. تعداد ۵۵۲ نمونه سرمی از گاومیش‌های

استان گانسو، شمال غربی چین بین آوریل ۲۰۱۳ و ژانویه ۲۰۱۴ جمع آوری گردیده و آنتی بادی های ضد کوکسیلا بورنستی با استفاده از روش ایمونوسوربنت متصل به آنزیم (ELISA) مورد ارزیابی قرار گرفتند. به طور کلی، ۷۵/۵۵۲٪ (۱۳/۵۹٪ CI: ۱۰/۷۳-۱۶/۴۵٪) از حیوانات بررسی شده برای آنتی بادی های کوکسیلا بورنستی مشبت بودند. تفاوت عمنی داری در شیوع سرمی کوکسیلا بورنستی میان گاو میش های ماده (۱۳/۷۸٪ CI: ۱۰/۳۶-۱۷/۱۹٪) و نر (۱۸/۳۶٪ CI: ۷/۸۹-۱۸/۷۸٪) وجود نداشت. شیوع سرمی کوکسیلا بورنستی در گاو میش ها در گروه های سنی مختلف در محدوده ۱۰/۸۸٪ تا ۱۵/۲۶٪ بود، ولی اختلاف از لحاظ آماری معنی دار نبود ( $P > 0.05$ ). شیوع سرمی کوکسیلا بورنستی در گاو میش های سنی مختلف در محدوده ۱۲/۰۶٪ (پاییز) تا ۱۸/۳۳٪ (تابستان) بودند، اما این اختلاف از لحاظ آماری معنی دار نبود ( $P > 0.05$ ). این اولین گزارش از شیوع سرمی کوکسیلا بورنستی در گاو میش های آزاد در چین است که نمایانگر نیاز به اندازه گیری ها جهت کنترل عفونت کوکسیلا بورنستی در گاو میش های آزاد در چین است.

**واژه های کلیدی:** چین، کوکسیلا بورنستی، شیوع سرمی، گاو میش ها

## اثر عصاره آبی گیاه گل میمون بر مدت زمان نگهداری و کیفیت ماهی قزل آلای رنگین کمان در حالت فوق سرد

مقاله کوتاه:

اشکان جبلی جوان<sup>۱</sup>، مرضیه بلندی<sup>۲</sup>، زهره جدیدی<sup>۲</sup>، مهنوش پارسايی مهر<sup>۱</sup>  
و عباس جواهري وايقان<sup>۲</sup>

<sup>۱</sup>گروه بهداشت و کنترل کیفی مواد غذایی، دانشکده دامپزشکی دانشگاه سمنان، سمنان، ایران؛ <sup>۲</sup>گروه علوم و صنایع غذایی، واحد دامغان، دانشگاه آزاد اسلامی، دامغان، ایران؛ <sup>۳</sup>گروه پاتوبیولوژی، دانشکده دامپزشکی دانشگاه سمنان، سمنان، ایران

(دریافت مقاله: ۲۵ اسفند ۱۳۹۲، پذیرش نهایی: ۵ آبان ۱۳۹۳)

این مطالعه به منظور ارزیابی تاثیر غوطه وری در عصاره آبی گیاه گل میمون بر کیفیت و مدت زمان ماندگاری فیله ماهی قزل آلای رنگین کمان در شرایط فوق سرد انجام شده است. در این آزمایش، نمونه های ماهی پس از غوطه ور سازی در عصاره های ۰٪ و ۳٪ گیاه گل میمون به مدت ۲۰ روز در دمای ۲- درجه سانتیگراد نگهداری شدند. نمونه های تیمار شده و شاهد در فواصل معین از نظر ویژگی های شیمیایی، میکروبی و ارگانولپتیک مورد آزمایش قرار گرفتند. نتایج نشان داد که استفاده از عصاره آبی گل میمون در فیله ماهی قزل آلا به خوبی توانست پراکسیسیداسیون چربی و فساد هیدرولیتیک را در نمونه های تیمار شده با ۳٪ عصاره در مقایسه با کنترل در روز پایانی آزمایش به تاخیر بیندازد ( $P < 0.05$ ). همچنین فیله های ماهی حاوی ۳٪ عصاره آبی گل میمون از میزان شمارش میکروبی کمتری نسبت به نمونه های تیمار شده با ۱٪ عصاره آبی و شاهد در طول آزمایش برخوردار بودند ( $P < 0.05$ ). نتایج آزمون های حسی نیز نشان داد که نمونه های تیمار شده با ۳٪ عصاره حتی در روز بیستم نگهداری قابل قبول بودند. در مجموع، نتایج حاکی از آن بود که عصاره آبی گیاه گل میمون در حفظ کیفیت مطلوب نمونه های ماهی و افزایش مدت زمان نگهداری آن ها در حالت فوق سرد تاثیر بسزایی داشت که نتایج آزمون های میکروبی، شیمیایی و ارزیابی حسی به خوبی این مطلب را اثبات کردند.

**واژه های کلیدی:** کیفیت، قزل آلای رنگین کمان، گیاه گل میمون، شرایط فوق سرد، عصاره آبی

## مقاله کوتاه: فیلوژنی مولکولی برخی گونه‌های پرندگان با استفاده از آنالیز توالی ژن سیتوکروم b

اشرف فاطی سعید آواد<sup>۱</sup>، سماح رمضان السید خلیل<sup>۲</sup> و یاسمینا محمد عبدالحکیم<sup>۲</sup>

<sup>۱</sup>گروه توسعه فراوانی دام، دانشکده دامپزشکی دانشگاه الزقازیق، الزقازیق ۴۴۵۱۱، مصر؛ <sup>۲</sup>گروه پزشکی قانونی و سم شناسی، دانشکده دامپزشکی دانشگاه الزقازیق، الزقازیق ۴۴۵۱۱، مصر

(دربافت مقاله: ۱۹ بهمن ۱۳۹۲، پذیرش نهایی: ۶ آبان ۱۳۹۳)

شناسایی و تفیریق واقعی گونه‌های پرندگان گام حیاتی در مداخلات محافظه کارانه، تاکسونومیک، قانونی، حقوقی، و سایر مداخلات مربوط به پرنده شناسی است. از این‌رو، این مطالعه کاربرد روش مولکولی جهت شناسایی برخی گونه‌های پرندگان از قبیل ماکیان (*Gallus gallus*), اردک روسی (*Coturnix japonica*), بلدرچین ژاپنی (*Cairina moschata*)، قمری خانگی (*Streptopelia senegalensis*) و کبوتر راک (*Columba livia*) را در بر داشت. DNA ژئومی از نمونه‌های خون استخراج شد و بخشی از توالی ژن سیتوکروم b میتوکندری (۳۵۸ bp) انجام تقویت و با استفاده از پرایمرهای یونیورسال توالی یابی شدند. مسیر توالی‌ها و آنالیزهای فیلوژنی توسط برنامه workbench اصلی CLC گرفت. پنج توالی به دست آمده در بانک ژن رسوب یافته و با توالی‌های قبلًا ثبت شده در بانک ژن مقایسه شدند. درصد شباهت بین مورد مطالعه و گونه‌های بانک ژن در محدوده ۸۰/۴۶٪ تا ۸۸/۶۰٪ بین *Coturnix japonica* و *Gallus gallus* بود. درصد شناسایی بین گونه‌های *Gallus gallus* و *Anas platyrhynchos* و *Columba oenas* (۷۷/۲۰٪) تا ۱۰۰٪ در محدوده *Gallus gallus* (آنالیز *Columba livia* و *Meleagris gallopavo*، *Coturnix coturnix*، *Gallus sonneratii* بود. ثابت گردید که تقویت توالی جزیی ژن سیتوکروم b میتوکندری به طور مشخص برای شناسایی گونه‌های پرندگان قابل استفاده است.

واژه‌های کلیدی: گونه‌های پرندگان، ژن سیتوکروم b، آنالیز فیلوژنیک

## گزارش علمی: هیپراستوز اسکلتی ایدیوپاتیک منتشر در یک سگ نژاد بولداگ: گزارش موردي

عباس غضنفر، ام. ان. عاصی، ام. ان. موغال،  
ام. سقیب و جی. محمد

گروه جراحی و طب بالینی، دانشکده علوم دامپزشکی دانشگاه کشاورزی، فیصل آباد، ۳۸۰۴۰، پاکستان

(دربافت مقاله: ۹ تیر ۱۳۹۳، پذیرش نهایی: ۲۶ آبان ۱۳۹۳)

این گزارش موردی وجود هیپراستوز ایدیوپاتیک منتشر (DISH) در یک بولداگ جنگی را شرح می‌دهد. سگ به بیمارستان آموزشی دامپزشکی، دانشگاه کشاورزی فیصل آباد پاکستان، با ابراز شکایت از سختی در راه رفتن پیشرونده، ناتوانی در ایستادن بر روی اندام خلفی و سفتی عضله در ناحیه کمری-خاجی ارجاع داده شد. معاینات بالینی، هماتولوژی و سروبیوشیمیابی به استثنای تشکیل وسیع استخوان جدید در رادیوگرافون چهار مهره آخر پشت سر هم کمری (L4-L8) در ناحیه کمری که موازی با لیگامنت نوکال حرکت می‌کند، غیر معنی دار بودند.

تشخیص DISH بر اساس عالیم بالینی و بررسی رادیوگرافیک که پیشنهاد کننده DISH بود، انجام شد. این گزارش اولین مورد در بولداگ جنگی در پاکستان را ثبت می‌کند.

**واژه‌های کلیدی:** هیپراستوز اسکلتی ایدیوپاتیک منتشر، بولداگ جنگی، لیگامنت نوکال

## آمفیزم عمومی زیر جلدی متعاقب شکستگی غضروف کریکوئید و جداشده‌گی آن از نای در یک قلاده سگ ژرمن شپرد

بهروز نیک احوال<sup>۱</sup>، مهرزاد فرود<sup>۲</sup>، علیرضا رعایت جهرمی<sup>۱</sup>  
و محمد سعید احراری خوافی<sup>۱</sup>

<sup>۱</sup>گروه علوم درمانگاهی، دانشکده دامپزشکی دانشگاه شیراز، شیراز، ایران؛ <sup>۲</sup>دانشجوی دکترای تخصصی جراحی دامپزشکی، گروه علوم درمانگاهی، دانشکده دامپزشکی دانشگاه شیراز، شیراز، ایران

(دریافت مقاله: ۱۳ مرداد ۱۳۹۳، پذیرش نهایی: ۴ بهمن ۱۳۹۳)

یک قلاده سگ نژاد ژرمن شپرد با سابقه آمفیزم زیر جلدی پیشرونده عمومی متعاقب درگیری با یک سگ دیگر به بیمارستان دامپزشکی ارجاع شد. ارزیابی رادیوگرافی نشان دهنده آمفیزم زیر جلدی، نوموربتوپریتونئوم و نومومدیاستینوم و نوموربتوپریتونئوم بود. در بررسی جراحی شکستگی طولی غضروف کریکوئید و جدایی آن از نای واضح بود. شکستگی غضروف مورد بخیه قرار گرفت و نای توسط بخیه‌های ساده تکی به غضروف کریکوئید اتصال داده شد. موقع همزمان شکستگی کریکوئید و جداشده‌گی آن از نای در منابع دامپزشکی گزارش نشده است. از این رو این نوع ضایعه به عنوان یکی از علتهای آمفیزم زیر جلدی به دنبال ترومای خارجی ناحیه حنجره می‌تواند مد نظر قرار گیرد.

**واژه‌های کلیدی:** شکستگی غضروف کریکوئید، جداشده‌گی نای، آمفیزم زیر جلدی